

## 急勾配不透通性斜面による波の反射に関する実験

苫小牧工業高等専門学校 正会員 ○相馬英敏  
 苫小牧工業高等専門学校 正会員 石塚耕一  
 室蘭工業大学 正会員 近藤徹郎

## 1. まえがき

最近わが国各地で海岸侵食が顕著になつてあり、深刻な問題にされているケースが多くない。海岸侵食の原因としてさまざま要因が考えらるゝが、その中でも直接支配要因である波動エネルギーと自然海浜地形あるいは海岸保全施設との相互作用によって生ずる波の打上げ、越波および反射の特性を追究することは基本的に重要なことと考えらるゝ。この中でも波の反射は、入射波エネルギーの一節が沖へ伝達される現象であり、そのエネルギーの大きさにすこしても侵食の状況が変化することは周知されている。反射率の実験的推定は、1953年、J. J. Healy が開発した算出法を使ってかなり定量的に把握できる。また理論的には、Miche (1944) により、反射率はのり面勾配、補正係数(不透通面の粗滑による)  $\rho$ 、入射波波形勾配  $\frac{H_0}{L}$  の関数であると報告されている。また日本でもこれらの一連の関連性を追究する研究も數多く報告されている。<sup>1), 2), 3)</sup> しかししながら、反射率や打上げ高に影響する要素は、きわめて多くて複雑でありいまだ不明に残されている現象が少なくない。著者等は急勾配斜面を対称として、簡単な不透通性反射板を使用し波の打上げ、反射に影響を及ぼすと考えらるゝのり面勾配、波形勾配、反射板の粗滑・断面形状などの諸要素について実験的に調べその特性を考察したので、その結果を報告する。

## 2. 実験方法

実験は長さ 19.7 m、幅 0.9 m、高さ 1.0 m のペンデュラム式造波装置が設置されている両面ガラス張りのニ次元規則波造波水槽で水平底にして行なわれた。実験装置の配置は Fig. 1 のようであつた。模型不透通性反射面は Fig. 2 のように次の三種類である。

- (i) Type-A として、規則的な凹凸のある粗面反射板。
- (ii) Type-B として、Type-A にペンキ塗り仕上げの合板を貼り付けた滑面反射板。
- (iii) Type-C として、Type-B の反射板を使用し、 $d = \frac{1}{2} = 15\text{cm}$  の直立部を有する合成断面の滑面反射板。

波高の測定には容量式波高計を用い、水位増幅器(計測技術研(株))を通して、6ch のリニアコーダ(浪波測定器(株))に記録させることで行なつた。入射波高と反射波高の決定は Healy の方法によつて  $\frac{1}{4} \sim \frac{1}{2}$  の間を 1 ~ 2 台の波高計を移動させて行なつた。また波の変形状態は、記録紙上の一周期間の時間水面波形を 24 等分した時間間隔で読み取つたものを調和解析した。その際、波形は三倍周波数波までの二成分の合成波で表現することとし、各周波数ごとの波高  $H_N$  ( $N=1, 2, 3$ ) を入射波における基本周波数の波高  $H_1$  で除して無次元波高で表現することとした。<sup>4)</sup> また波の打上げ高は反射板天端を十分高くし、越波

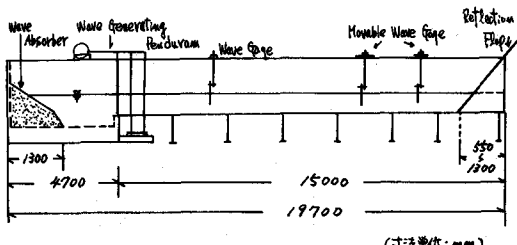


Fig. 1 実験造波水槽側面図

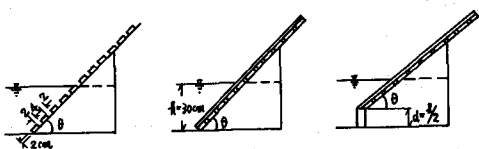


Fig. 2 模型反射板略図

それでいて、波の第4波～第8波の平均値を採用した。打上げ高の測定は波が斜面上を最高に進み上がった瞬間に目測によって捕え、各波ごとにマークして測定しそれらの点を静水面上からの鉛直高さ  $H_z$  で示し、深水波の波高  $H_0$  に対する相対打上げ高  $H_z/H_0$  で表わすことにした。実験波は水深  $z = 30\text{cm}$ 、入射波高  $H_0 = 2.5 \sim 15\text{cm}$  とし、周期  $T$  を  $1.1 \sim 1.9\text{sec}$  まで  $0.1\text{sec}$  刻みに変化させた。また反射板の面勾配は  $15^\circ, 20^\circ, 25^\circ, 30^\circ, 45^\circ, 60^\circ, 90^\circ$  の7種類変化させた。

### 3. 実験結果

#### 3.1 反射率について

##### 1) 粗面 (Type-A)

入射波波形勾配を parameter として反射率  $K_R$  を整理したのが Fig. 3 である。これによれば  $H_z/H_0 = 0.025, 0.030$  の時、 $K_R$  は  $\theta = 25^\circ$  で極小値をとり  $\theta = 20^\circ$  で急増し  $\theta < 20^\circ$  で急減する傾向が認められる。 $H_z/H_0 = 0.040$  の場合は  $\theta = 20^\circ$  で極小値を取るようである。全般的に  $H_z/H_0$  による  $K_R$  の値は、のり面勾配  $\theta$  に対して  $20^\circ \sim 25^\circ$  で特徴のある傾向を示し、 $H_z/H_0 = 0.025, 0.030$  の時  $\theta$  に対して  $K_R$  は大きく変化する。また  $\theta < 20^\circ$  になると  $K_R$  は  $H_z/H_0$  にすらす一走の値になる傾向を示す。

##### 2) 滑面 (Type-B)

$H_z/H_0$  を parameter にして  $K_R$  を整理したのが Fig. 4 である。これによれば  $H_z/H_0$  の値によらず  $K_R$  は、 $\theta = 30^\circ$  で極小値、 $\theta = 25^\circ$  で極大値を持つことがはっきりと認められ、 $\theta < 25^\circ$  で急減する傾向を示している。この結果は次の理由により説明されると思われる。緩勾配の单一勾配滑面の反射率は、Surf Similarity Parameter  $\lambda = \tan\theta/\sqrt{H/L}$  により強く支配されていることが報告されている。<sup>5), 6)</sup> その値により碎波の形状は次の様に分類される。<sup>5)</sup> ここでサフィックス  $\circ$  は深海波に対するものである。

$$\begin{aligned} \lambda > 3.3 & \text{Surging or Collapsing breaker} \\ 0.5 < \lambda < 3.3 & \text{Plunging breaker} \\ \lambda < 0.5 & \text{Spilling breaker} \end{aligned} \quad (2.1)$$

急勾配の本実験結果を  $H_z/H_0$  を parameter にし横軸に  $\lambda$  をとり  $K_R$  を整理したのが Fig. 5 である。左の図には緩勾配 ( $\theta = 6^\circ \sim 16^\circ$ ) に関する Battjes のデータも掲げている。これによれば  $0.5 < \lambda < 2.5$  のとき、 $K_R$  は放物線  $K_R = 0.15\lambda^2$  の曲線上に沿って大きくなることが認められるが、このとき (2.1) より波は碎波である。また  $\lambda > 3.3$  のとき、 $K_R$  は

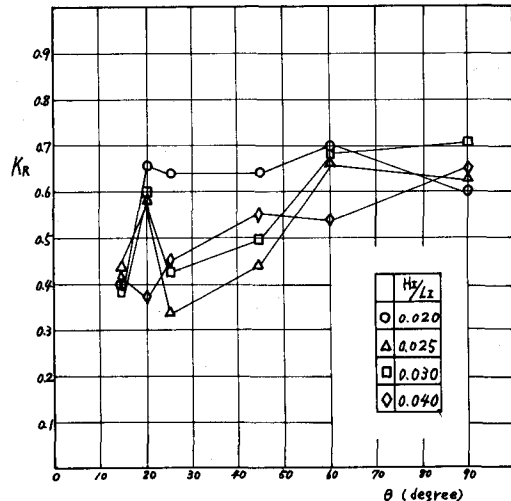


Fig. 3 反射率に及ぼす面勾配の影響 (Type-A)

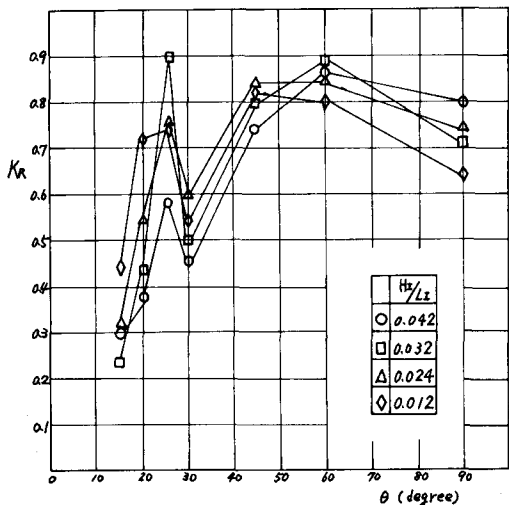


Fig. 4 反射率に及ぼす面勾配の影響 (Type-B)

の領域で変動が大きいが、これは粗度によって碎波作用が助長されていることにあると考えられる。

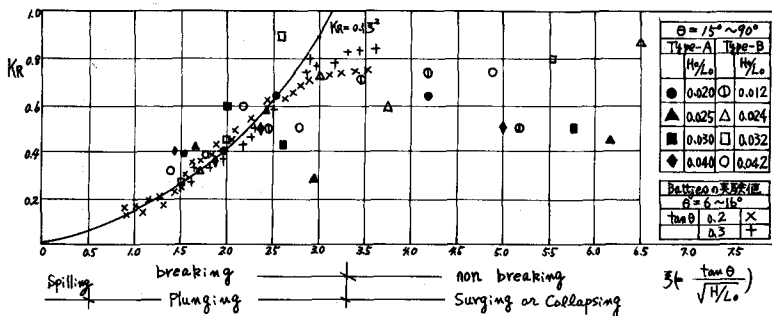


Fig. 5 反射率と Surf Similarity Parameterとの関係

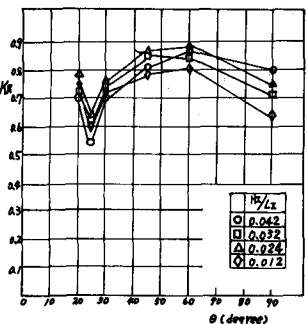


Fig. 6 波高に及ぼす面勾配の影響 (Type-C)

### 3) 滑面合成断面 (Type-C)

$H_s/L_0$  parameter にして  $R_{H_0}$  を整理したのが Fig. 6 である。これによれば、 $R_{H_0}$  は  $\theta = 25^\circ$  で極小値を持つ傾向が見らるるが、 $\theta = 6^\circ$  の値にからずほとんびー走の値を示すようであり、Type-A,B と比較して一般に大きな値を示している。

#### 3.2 打上げ高について

打上げ高の実験は、反射破が Type-B,C の 2 種類に対して行い、その結果を述べることにする。

##### 1) 滑面 (Type-B)

相対打上げ高  $R_{H_0}$  と面勾配  $\theta$  との関係を波形勾配  $H_s/L_0$  を parameter にして整理したのが Fig. 7 である。これによれば  $R_{H_0}$  は  $\theta = 20^\circ \sim 25^\circ$  で極大値を持つことがわからり、この  $\theta$  を境に急減する傾向が認められる。また  $R_{H_0}$  が極大値をとる  $\theta$  の値は、次式の Miche の式により求められる  $\theta_c$  の値とよく一致する。 $H_s/L_0 = \sqrt{2\theta} \cdot \sin^2 \theta / \pi$  …(1-1)、ここで  $\theta_c$  は年々から水尺  $H_s/L_0$  に対して Surfing waves を生ずる最終傾斜角である。(1-1)式より  $H_s/L_0 = 0.042, 0.032, 0.024, 0.012$  に対する  $\theta_c$  を求めると、それぞれ  $\theta_c = 29^\circ, 26^\circ, 23^\circ, 19^\circ$  となりよく一致していることが固り知られる。また Surf Similarity Parameter を使用して  $R_{H_0}$  を整理したのが Fig. 8 である。これによれば  $\theta = 25 \sim 30$  度付近で  $R_{H_0}$  は極大値を持つ傾向が見らる、 $R_{H_0}$  と同様に碎波による影響と考えられる。

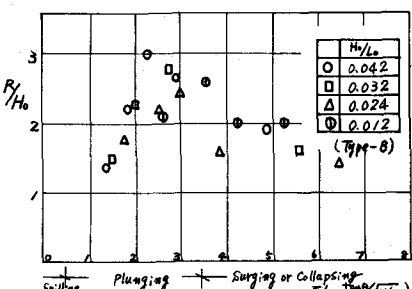


Fig. 8 相対打上げ高と Surf Similarity Parameterとの関係

Type-B と比較して一般に  $R_{H_0}$  は小さく、直立部を有する効果と考えられる。

#### 3.3 波高分布について

波高分布の一例として、Type-B,  $\theta = 15^\circ$ ,  $T = 1/\sec$ ,  $\bar{H}_t = 6.61 \text{ cm}$  のときの

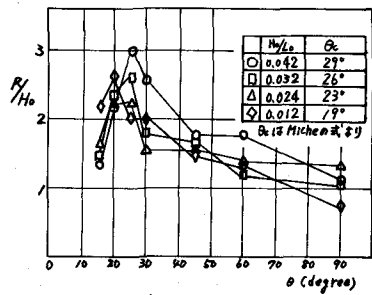


Fig. 7 相対打上げ高と面勾配の関係 (Type-B)

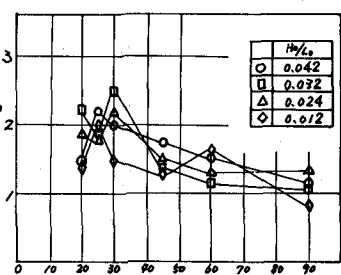
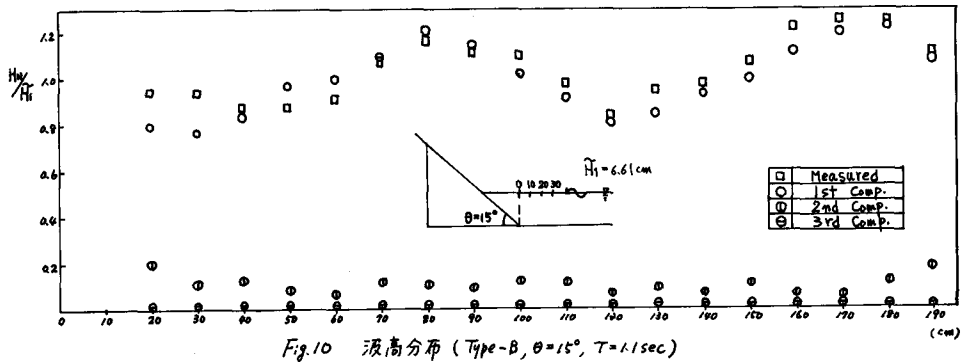


Fig. 9 相対打上げ高と面勾配の関係 (Type-C)

結果を Fig. 10 に示す。



これによればどの地点においても、二次成分波が三次成分波よりも大きく表われていることがわがる。こゆが実測の波高分布の凹凸に影響していると想われる。この場合の二次成分波、三次成分波の  $H_s/H_1$  の範囲は、 $0.02 < H_s/H_1 < 0.15$ 、 $0.01 < H_s/H_1 < 0.04$  である。またこの時の  $K_R$  の実験値は、Healy の方法より  $K_R = 0.281$  と求められ、高調波の影響を無視して一次成分波により  $K_R$  を求めると、 $K_R = 0.290$  となり高調波成分を除去しない時は大きめに表われている。このことは、その他の実験波に対しても同様なことが認められた。

#### 4. あとがき

急勾配斜面にする波の反射について結果をまとめると次のようである。

- (1) 反射板の断面形状・粗滑によらずのり面勾配  $\theta = 20^\circ \sim 30^\circ$  で反射率  $K_R$  は極値を持ち、それ以下ののり面勾配では急減する。
- (2) 反射板の断面形状によらず  $\theta = 20^\circ \sim 30^\circ$  で相対打上げ高  $H_s$  は極大値を持つ。また合成断面の方が单一勾配面より  $H_s$  は小さく直立部を有する効果と考えられる。
- (3) し (Surf Similarity Parameter) によって、反射率  $K_R$ 、相対打上げ高  $H_s$  の傾向がかなり良く説明でき、一般に  $\chi = 2.5$  すなむち、Plunging breaker から Surging or Collapsing breaker に移行する付近の碎波で碎波する場合に、 $K_R$ 、 $H_s$  は極大値をとっている。

今回の実験は基礎的なものに限られたが、今後各種断面等に関する研究が必要と思われる。本研究は、苫小牧工業高等専門学校水理実験室で行なわれたもので御評議、御協力をいただいた室蘭工業大学河海研究室の皆様、ならびに実験、データ整理に協力して載った昭和50、51年度本校卒業生諸君に感謝の意を表します。否不調和解析、データ整理には本校の電子計算機 HITAC 8250 を使用したことと付記する。

#### 参考文献

- 1) 高田彰： 波の進化、越波かすみ反射の関連性について、工学会論文報告集第182号、1970,
- 2) 室田明・山田哲二： 反射に関する基礎的研究、第18回海岸工学論文集、1966,
- 3) 室田明： 粗面斜面からの反射に関する実験的研究、第14回海岸工学論文集、1967,
- 4) 近藤淑郎・谷野賢二： 各種透過程防波構造物における波の変形特性、第23回海岸工学論文集、1976,
- 5) J.A. Battjes: Surf Similarity, Proc. 14th, ASCE, Coastal Eng. Conf., 1974,
- 6) Moraes : Experiments of Wave Reflection on Impermeable Slopes, Proc. 12th, ASCE, Coastal Eng. Conf., 1974,